

УДК 539.3

Кривцов В.С., канд.техн.наук,  
Нарынский А.Г., Шехов А.В.

## ВЛИЯНИЕ ХАРАКТЕРА СВЯЗЕЙ ЭЛЕМЕНТОВ КОНСТРУКЦИИ УСТАНОВКИ ИМПУЛЬСНОГО ДЕФОРМИРОВАНИЯ НА ЕЕ ДЕФОРМИРОВАННОЕ СОСТОЯНИЕ

В статье на основе анализа результатов, с одной стороны, инструментального измерения характеристик статического деформированного состояния экспериментальной установки, с другой стороны, ряда модельных расчетов НДС, выполненных для той же установки как без учета упругой деформируемости связей конструктивных элементов, так и со специально подобранными величинами жесткости связей, сделаны выводы о существенности и характере влияния узлов соединений на деформированное состояние установок импульсного деформирования.

Экспериментальная установка представляла собой упрощенный вариант типовой установки, отличающийся отсутствием приставки, подъемника, амортизаторов и средней плиты. Упрощение конструкции делало более точным и менее трудоемким измерение и анализ деформированного состояния. В состав экспериментальной установки входили (рис.1): четыре колонны переменного сечения ( $d=70$  мм) длиной  $L=1150$  мм, квадратная в плане верхняя плита ( $1160 \times 1160$  мм) толщиной  $h=50$  мм с энергоузлом в центре массой  $m=80$  кг и такого же в плане размера нижняя плита толщиной  $H=165$  мм.

Измерялись перемещения колонн (точки A1, A2, A3, A4) и перемещения верхней плиты (точки B1, B2, B3, B4 и C). Статическое нагружение производилось с помощью домкрата, расположенного в центре плиты в точке С силой  $F=31.8$  кН.

Из общего объема измеренных перемещений для дальнейшего обсуждения существенны: максимальное вертикальное перемещение точки C=1.5 мм, горизонтальные перемещения колонн в точках  $A_i=0.035$  мм ( $i=1,2,3,4$ ), а также особый характер движения верхней плиты в своей плоскости (вращение со смещением центра вращения), показанный на рис. 26.

С помощью разработанной конечно-элементной методики /1/ и программного обеспечения /2/ выполнен расчет деформированного состояния модели описанной выше конструкции в предположении абсолютной жесткости связей колонн и плит. Нижняя плита в этом и следующем расчетах также полагается абсолютно жесткой.

Полученное решение симметрично относительно горизонтальных осей материальной симметрии, максимальное вертикальное перемещение в точке С равно 0.38 мм и значительно меньше наблюдаемого в эксперименте, перемещения колонн в точках  $A_i$  равны 0.041 мм (сравнимы с экспериментальными), вращательное движение верхней плиты не наблюдалось. Несоответствие расчетных и экспериментальных значений превосходило суммарную погрешность расчета и эксперимента (0.002 мм и соответственно 0.01 мм). Такого рода "идеальная" модель конструкции непригодна для расчетов НДС, поскольку не отражает характерных особенностей реальных НДС.

Расчеты НДС "идеальной" модели, а также альтернативной "неидеальной" проведены на ЭВМ с центральным процессором (ЦП) типа i386 на тактовой частоте 40 МГц в течение 11 мин. каждый. В расчетах использованы 354 конечных элементов и 1815 узловых степеней свободы.

В качестве причины несоответствия деформированных состояний реальной установки и "идеальной" модели ее предположена податливость соединений верхней плиты и колонн под нагрузкой. В работе /2/ показано, что величины и характер перемещений модели с неидеальными (упругоподатливыми) связями зависят от величин интегральных жесткостей упомянутых связей, поэтому была выполнена серия расчетов НДС конструкции по такой "неидеальной" модели. Необходимые для расчета значения интегральных жесткостей были определены подбором в следующем порядке: сначала жесткость на продольное растяжение

жесткости на изгиб (с контролем величины прогиба колонн), наконец - уточнение значения жесткостей на изгиб (с контролем величин перемещений верхней плиты в своей

плоскости).  
Д.А. метод. 1.4. Вычислительный

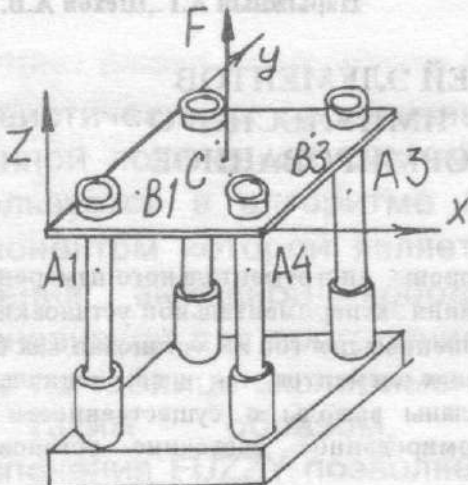


Рис.1

$$[K] = \begin{vmatrix} K_{11} & K_{12} \\ K_{21} & K_{22} \end{vmatrix}; [K_{11}] = \begin{vmatrix} ES/l & 0 & 0 & 0 & 0 \\ 0 & 12EI_x/l & 0 & 0 & 6EI_x/l \\ 0 & 0 & 12EI_y/l & -6EI_y/l & 0 \\ 0 & 0 & -6EI_y/l & 4EI_y/l & 0 \\ 0 & 6EI_x/l & 0 & 0 & 4EI_x/l \end{vmatrix}$$

$$[K_{12}] = \begin{vmatrix} -ES/l & 0 & 0 & 0 & 0 \\ 0 & -12EI_x/l & 0 & 0 & 6EI_x/l \\ 0 & 0 & -12EI_y/l & -6EI_y/l & 0 \\ 0 & 0 & 6EI_y/l & 2EI_y/l & 0 \\ 0 & -6EI_x/l & 0 & 0 & 2EI_x/l \end{vmatrix}; [K_{21}] = [K_{12}]^T;$$

$$[K_{22}] = \begin{vmatrix} ES/l & 0 & 0 & 0 & 0 \\ 0 & 12EI_x/l & 0 & 0 & -6EI_x/l \\ 0 & 0 & 12EI_y/l & 6EI_y/l & 0 \\ 0 & 0 & 6EI_y/l & 4EI_y/l & 0 \\ 0 & -6EI_x/l & 0 & 0 & 4EI_x/l \end{vmatrix}$$

Такой порядок обеспечил подбор значений жесткостей за одну итерацию, на каждом этапе ранее подобранные значения не нуждались в изменениях.

Повторный расчет НДС модели установки со специально подобранными величинами жесткостей связей (соответствующих значениям параметров  $l=9$  мм,  $S=2,46 \cdot 10^{-3}$  м<sup>2</sup>,  $E=2,1 \cdot 10^7$  Па,  $I_x=4,83 \cdot 10^{-7}$  м<sup>4</sup>,  $I_y=4,83 \cdot 10^{-7}$  м<sup>4</sup>) по разработанной методике дал следующие результаты. Максимальные перемещения верхней плиты в точке С равны 1.44 мм, перемещения плиты из плоскости показаны на рис.2 а. Наблюдалось вращение верхней плиты в своей плоскости, распределение перемещений показано на рис.2 б.

Сравнительный анализ результатов экспериментального измерения и расчета характеристик деформированного состояния по различным ("идеальной" и "неидеальной") моделям позволил сформулировать следующие выводы:

Модель с идеальными связями не отражает названных выше особенностей НДС конструкции. Однаковость элементов конструкции (колонн), симметрия конструкции и нагрузки обуславливают симметрию НДС, которая не наблюдается в эксперименте.

Связи конструктивных элементов вносят специфические особенности в НДС конструкций установок при эксплуатации в статике и, следовательно, в динамике. Податливость связей вполне объясняет особенности НДС в эксперименте, при этом

наибольшее влияние на деформирование реальной конструкции оказывают податливость в осевом направлении на растяжение и в поперечном направлении на изгиб.

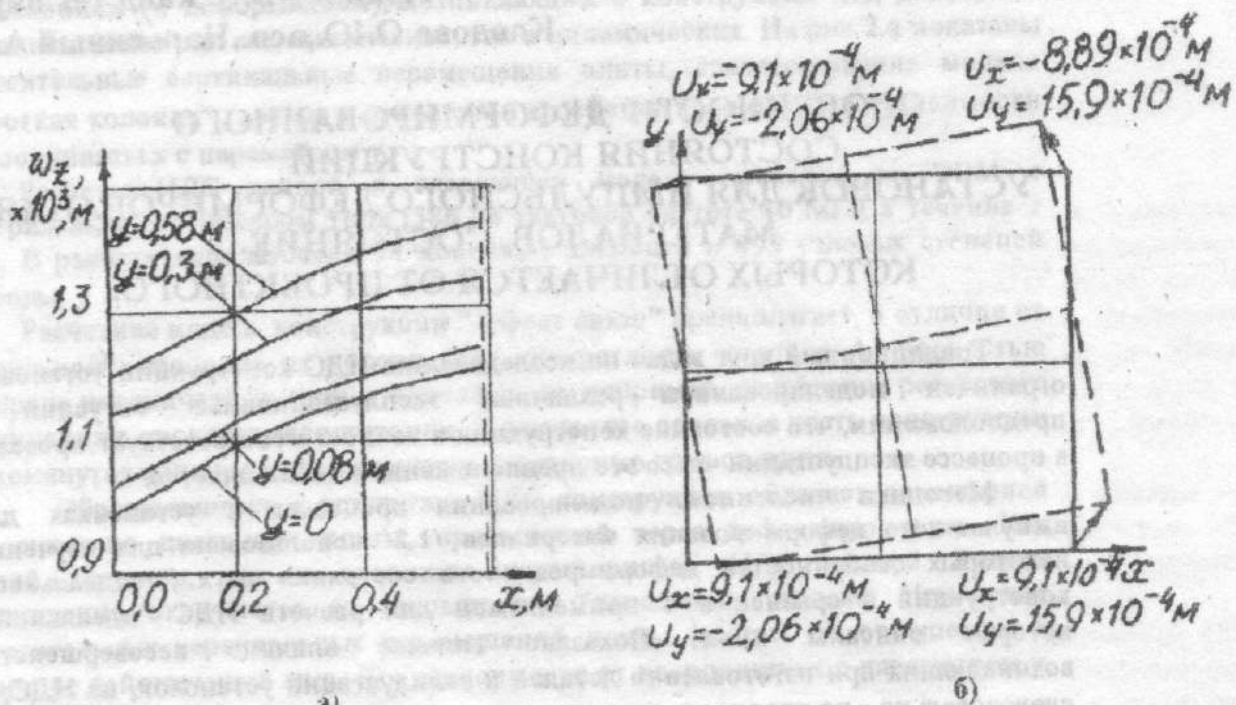


Рис.2

(1 она) вязкому изгибу колонок следят  
заряды в углах концов

Вращение плиты связано с несимметричным изгибом колонн из-за анизотропии жесткости связей на изгиб и вызывает в конструкции самоуравновешенную систему внутренних сил типа бимоментов, которые обуславливают поле дополнительных напряжений и усугубляют проблему прочности и долговечности подобных конструкций.

В динамике возможны иные, кроме упругоподатливого, механизмы реакции узлов связей на скорости и ускорения перемещений связываемых элементов конструкции, например, типа сухого трения, вязкоупругий, инерционный. Актуален в связи с этим вопрос о круге существенных механизмов взаимодействия элементов в связях и выборе соответствующих математических моделей связей в динамике.

Интегральные характеристики жесткости связей можно определить путем подбора по результатам инструментальных измерений деформированного состояния. Актуальна разработка экспериментально-расчетной процедуры определения характеристик узлов связи и решения вопроса единственности такого определения в статике и в динамике.

Проектирование установок для импульсного деформирования должно проводиться с учетом особого влияния характеристик связей на их НДС, состояние узлов связи должно быть регламентировано проектом. При эксплуатации установок следует контролировать соответствие параметров состояния узлов связей конструктивных элементов проектным значениям.

#### ЛИТЕРАТУРА

1. Кривцов В. С. Методика исследования технологических параметров и прочности установок импульсного деформирования. Proceedings second international conference "New leading-edge technologies in machine building", Rybachie, September 18-22, 1993, c. 309-310.
2. Кладова О. Ю. Численная методика определения НДС установок для импульсного деформирования металлов. См. настоящий сборник.
3. Расчеты машиностроительных конструкций методом конечных элементов. Справочник. Под общей редакцией В. И. Мяченкова. М.: Машиностроение, 1989.